Introduction aux méthodes de réduction de modèle pour les EDP

Marie Billaud-Friess

Centrale Méditerranée, Aix-Marseille Université Institut de Mathématiques de Marseille

1. Introduction

2. Equation d'advection-diffusion dépendant de paramètres

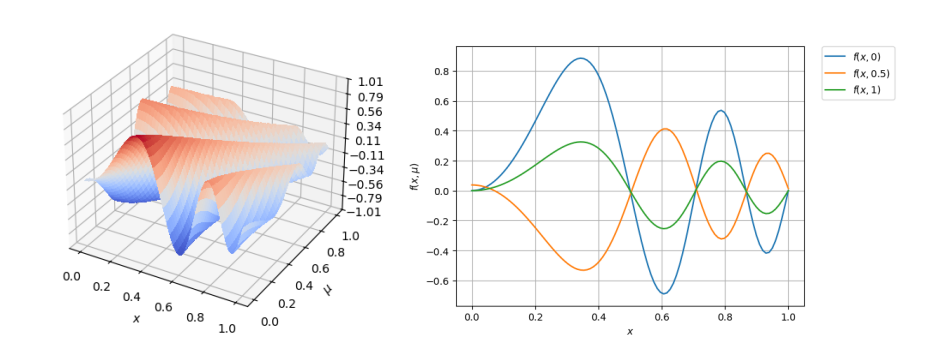
3. Equation de la chaleur

4. Un peu de théorie

Conclusion

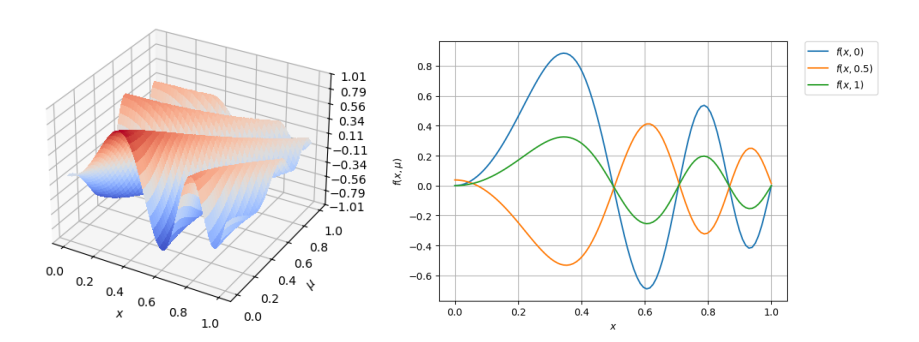
Considérons

$$f(x,\mu) = \exp(-x^2 - \mu)\sin(4\pi(x^2 - \mu^2)), (x,\mu) \in [0,1]^2$$



Considérons

$$f(x,\mu) = \exp(-x^2 - \mu)\sin(4\pi(x^2 - \mu^2)), (x,\mu) \in [0,1]^2$$



Question. Peut-on écrire la fonction "compliquée" f comme une somme de produits de fonctions "simples" dépendant de x et μ séparément?

Réponse. Oui, après développement :

$$f(x,\mu) = \underbrace{\exp(-x^2)\sin(4\pi x^2)}_{\varphi_1(x)}\underbrace{\exp(-\mu)\cos(\mu^2)}_{\alpha_1(\mu)} + \underbrace{\left(-\exp(-x^2)\cos(4\pi x^2)\right)}_{\varphi_2(x)}\underbrace{\exp(-\mu)\sin(\mu^2)}_{\alpha_2(\mu)},$$

c'est à dire

$$f(x,\mu) = \sum_{i=1}^{2} \alpha_i(\mu) \varphi_i(x).$$

La fonction f est dite de rang 2.

Réponse. Oui, après développement :

$$f(x,\mu) = \underbrace{\exp(-x^2)\sin(4\pi x^2)}_{\varphi_1(x)}\underbrace{\exp(-\mu)\cos(\mu^2)}_{\alpha_1(\mu)} + \underbrace{\left(-\exp(-x^2)\cos(4\pi x^2)\right)}_{\varphi_2(x)}\underbrace{\exp(-\mu)\sin(\mu^2)}_{\alpha_2(\mu)},$$

c'est à dire

$$f(x,\mu) = \sum_{i=1}^{2} \alpha_i(\mu) \varphi_i(x).$$

La fonction f est dite de rang 2.

En pratique. Soient $\{x_i\}_{i=1}^n, \{\mu_i\}_{i=1}^m \subset [0,1]$. Il s'agit de calculer

- \checkmark seulement 2(m+n) évaluations de $lpha_1,lpha_2$ en $\{\mu_i\}_{i=1}^m$ et pour $arphi_1,arphi_2$ en $\{x_i\}_{i=1}^n$,
- $\normalfont{\mbox{$\checkmark$}}$ contre nm évaluations de f en $\{(x_i,\mu_j)\}_{1\leq i\leq n,1\leq j\leq m}$.

Approximation. Considérons

$$g(x,\mu) = \sum_{i \ge 1} 10^{-i} \exp(-x^2 - \mu) \sin(2^i \pi (x^2 - \mu^2)), (x,\mu) \in [0,1]^2$$

Approximation. Considérons

$$g(x,\mu) = \sum_{i \ge 1} 10^{-i} \exp(-x^2 - \mu) \sin(2^i \pi (x^2 - \mu^2)), (x,\mu) \in [0,1]^2$$

approchée par une fonction de rang 2k

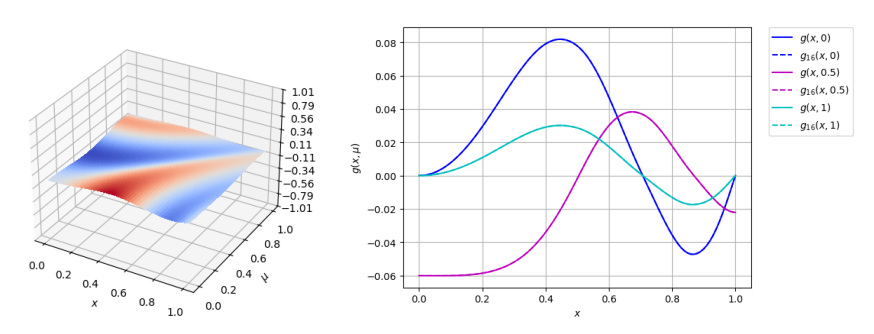
$$g_{2k}(x,\mu) = \sum_{i=1}^{k} 10^{-i} \exp(-x^2 - \mu) \sin(2^i \pi (x^2 - \mu^2)), (x,\mu) \in [0,1]^2$$

Approximation. Considérons

$$g(x,\mu) = \sum_{i \ge 1} 10^{-i} \exp(-x^2 - \mu) \sin(2^i \pi (x^2 - \mu^2)), (x,\mu) \in [0,1]^2$$

approchée par une fonction de rang 2k

$$g_{2k}(x,\mu) = \sum_{i=1}^{k} 10^{-i} \exp(-x^2 - \mu) \sin(2^i \pi (x^2 - \mu^2)), (x,\mu) \in [0,1]^2$$



$$k = 1$$
 rang = 2
 $k = 8$ rang = 16
 $k = 15$ rang = 30

① Certaines fonctions admettent une représentation séparée de faible rang.

```
ex. : La fonction f.
```

② D'autres peuvent **être approchées** par des fonctions qui admettent une représentation <u>séparée</u> de faible rang.

```
ex. : La fonction g.
```

→ Une fonction sous format séparé de faible rang est "moins" coûteuse à évaluer.

1. formulation mathématique : équation aux dérivées partielles $\mathcal{F}(u)=0$

Equation de la chaleur

$$\partial_t u - \triangle u = 0$$

Equation d'advection diffusion

$$-\kappa \triangle u + a \cdot \nabla u = f$$

1. formulation mathématique : équation aux dérivées partielles $\mathcal{F}(u)=0$

Equation de la chaleur

$$\partial_t u - \triangle u = 0$$

Equation d'advection diffusion

$$-\kappa \triangle u + a \cdot \nabla u = f$$

2. non résolvable analytiquement : résolution numérique $F_h(\boldsymbol{u}_h)=0$

1. formulation mathématique : équation aux dérivées partielles $\mathcal{F}(u)=0$

Equation de la chaleur

$$\partial_t u - \triangle u = 0$$

Equation d'advection diffusion

$$-\kappa \triangle u + a \cdot \nabla u = f$$

- 2. non résolvable analytiquement : résolution numérique $F_h(\boldsymbol{u}_h)=0$
- 3. résolution numérique trop coûteuse : réduction de modèle $F_n(oldsymbol{u}_n)=0$

1. formulation mathématique : équation aux dérivées partielles $\mathcal{F}(u)=0$

Equation de la chaleur

$$\partial_t u - \triangle u = 0$$

Equation d'advection diffusion

$$-\kappa \triangle u + a \cdot \nabla u = f$$

- 2. non résolvable analytiquement : résolution numérique $F_h(oldsymbol{u}_h)=0$
- 3. résolution numérique trop coûteuse : réduction de modèle $F_n(oldsymbol{u}_n)=0$

Les méthodes de réduction de modèle

Approches qui utilisent des représentations sous **format séparé de faible rang** pour alléger les coûts de calculs lors de la **résolution numérique** d'équations aux dérivées partielles.

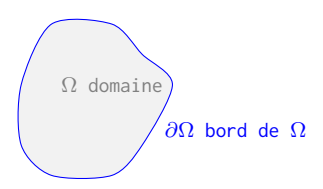
1. Introduction

2. Equation d'advection-diffusion dépendant de paramètres

Equation de la chaleur

4. Un peu de théorie

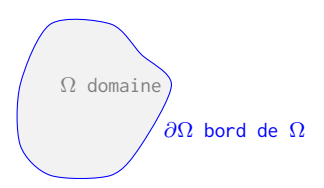
5. Conclusion



Problème modèle (simple).

On cherche $u:\Omega\to\mathbb{R}$ solution d'une EDP (équation aux dérivées partielles)

$$\left\{ \begin{array}{l} \mathcal{L}u=f, \text{ dans } \Omega, \\ + \text{ conditions aux limites sur } \partial\Omega. \end{array} \right. \tag{1}$$



Problème modèle (simple).

On cherche $u:\Omega\to\mathbb{R}$ solution d'une EDP (équation aux dérivées partielles)

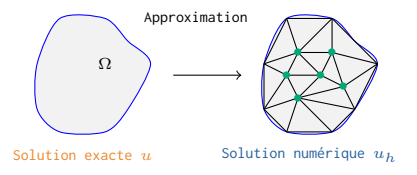
$$\left\{ \begin{array}{l} \mathcal{L}u=f, \ \mbox{dans} \ \Omega, \\ + \ \mbox{conditions aux limites sur} \ \partial\Omega. \end{array} \right. \eqno(1)$$

avec

- $f:\Omega \to \mathbb{R}$ est un terme source connu
- ullet $\Omega\subset\mathbb{R}^d$ le domaine spatial
- ullet un opérateur différentiel linéaire

ex. : Equation d'advection diffusion $\mathcal{L}u = -\kappa \triangle u + a \cdot \nabla u$

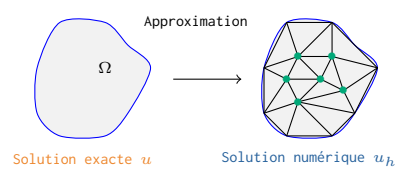
Approximation.



On veut calculer numériquement une approximation u_h de u.

ex. : Méthode éléments finis, différences finies etc.

Approximation.



On veut calculer numériquement une approximation u_h de ${\color{red} u}$.

ex. : Méthode éléments finis, différences finies etc.

Système algébrique de taille N.

En pratique, pour obtenir $u_h pprox u$, il faut calculer le vecteur des coefficients

$$\boldsymbol{u}_h = (\mathsf{u}_1, \dots, \mathsf{u}_N)^T \in \mathbb{R}^N$$

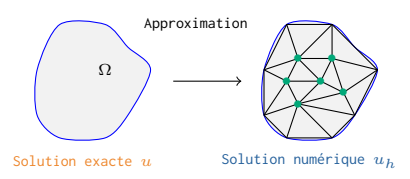
solution de

$$L_h \boldsymbol{u}_h = \boldsymbol{f}_h, \text{ dans } \mathbb{R}^N$$
 (2)

avec $L_h \in \mathbb{R}^{N imes N}$ et $oldsymbol{f}_h \in \mathbb{R}^N$ opérateur et terme source discrets.

ex. : Pour les éléments finis
$$\mathcal{L}=-rac{d^2}{dx^2}\Rightarrow L_h=rac{1}{h}\mathrm{tridiag}(-1,2,-1)$$

Approximation.



On veut calculer numériquement une approximation u_h de ${\color{red} u}$.

ex. : Méthode éléments finis, différences finies etc.

Système algébrique de taille N.

En pratique, pour obtenir $u_h pprox u$, il faut calculer le vecteur des coefficients

$$\boldsymbol{u}_h = (\mathsf{u}_1, \dots, \mathsf{u}_N)^T \in \mathbb{R}^N$$

solution de

$$L_h \boldsymbol{u}_h = \boldsymbol{f}_h, \text{ dans } \mathbb{R}^N$$
 (2)

avec $L_h \in \mathbb{R}^{N imes N}$ et $m{f}_h \in \mathbb{R}^N$ opérateur et terme source discrets.

ex. : Pour les éléments finis
$$\mathcal{L}=-\frac{d^2}{dx^2}\Rightarrow L_h=\frac{1}{h}\mathrm{tridiag}(-1,2,-1)$$

Intérêt ? Ce système linéaire peut être résolu efficacement sur ordinateur.

Combien ça coûte?

Pour mesurer le coût de calcul on parle de complexité algorithmique.

- ullet C'est le nombre d'opérations (+,-, imes,/) pour résoudre ce système linéaire.
- ullet Elle dépend de N !

Combien ça coûte?

Pour mesurer le coût de calcul on parle de complexité algorithmique.

- C'est le nombre d'opérations $(+,-,\times,/)$ pour résoudre ce système linéaire.
- Elle dépend de N !

Quelques algorithmes

- X Méthode de Cramer $\mathcal{O}((N+1)!)$ Si N=50 il faut $5!!\approx 1.5\cdot 10^{66}$ opérations. $\approx 5\cdot 10^{49}$ années sur une machine équipée d'un processeur à $1G.s^{-1}$
- ✓ Méthode du pivot de Gauss $\mathcal{O}(N^3)$
- ✓ Méthode Jacobi, Gauss-Seidel $\mathcal{O}(K \cdot N^2)$

Combien ça coûte?

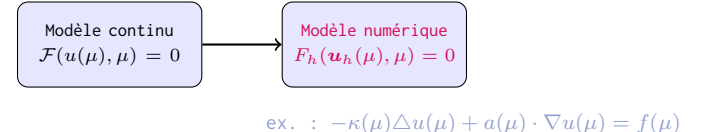
Pour mesurer le coût de calcul on parle de complexité algorithmique.

- C'est le nombre d'opérations $(+,-,\times,/)$ pour résoudre ce système linéaire.
- Elle dépend de N !

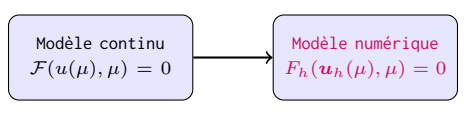
Quelques algorithmes

- X Méthode de Cramer $\mathcal{O}((N+1)!)$ Si N=50 il faut $5!!\approx 1.5\cdot 10^{66}$ opérations. $\approx 5\cdot 10^{49}$ années sur une machine équipée d'un processeur à $1G.s^{-1}$
- ✓ Méthode du pivot de Gauss $\mathcal{O}(N^3)$
- ✓ Méthode Jacobi, Gauss-Seidel $\mathcal{O}(K \cdot N^2)$
- \Rightarrow Pour des **modèles numériques complexes** N>>1, des algorithmes (solveurs) performants et parallélisés sur des machines très puissantes sont utilisés.

Problème paramétré. On cherche $u: \mu \mapsto u(\mu)$ avec $\mu \in \mathcal{P} \subset \mathbb{R}^p$ des paramètres.



Problème paramétré. On cherche $u: \mu \mapsto u(\mu)$ avec $\mu \in \mathcal{P} \subset \mathbb{R}^p$ des paramètres.



ex. :
$$-\kappa(\mu)\triangle u(\mu) + a(\mu)\cdot\nabla u(\mu) = f(\mu)$$

Problèmes directs.

- Calculer efficacement $u_h(\mu)$ pour de nombreuses valeurs de $\mu \in \mathcal{P}$.
- Modèle numérique $N >> 1 \rightsquigarrow$ Trop coûteux.

Peut-on remplacer le modèle numérique (N) par autre modèle dont le coût de résolution est réduit (n) ?

^{1.} Berkooz, G; Holmes, P; Lumley, J L (January 1993). "The Proper Orthogonal Decomposition in the Analysis of Turbulent Flows". Annual Review of Fluid Mechanics. 25 (1): 539-575.

^{2.} A. K. Noor and J. M. Peters. Reduced basis technique for nonlinear analysis of structures. AIAA Journal, 18(4):455-462, April 1980.

Peut-on remplacer le modèle numérique (N) par autre modèle dont le coût de résolution est réduit (n) ?

Méthodes de réduction de modèle.

- 1. Offline : Effectuer des (pré)calculs pour construire le modèle réduit.
- 2. **Online :** On résoud le modèle réduit pour calculer des solutions.

^{1.} Berkooz, G; Holmes, P; Lumley, J L (January 1993). "The Proper Orthogonal Decomposition in the Analysis of Turbulent Flows". Annual Review of Fluid Mechanics. 25 (1): 539-575.

^{2.} A. K. Noor and J. M. Peters. Reduced basis technique for nonlinear analysis of structures. AIAA Journal, 18(4):455-462. April 1980.

^{18(4) :455-462,} April 1980.

M. Billaud-Friess · ECM-AMU, IZM · Master Class ANADEAL Equation d'advection-diffusion dépendant de paramètres

Peut-on remplacer le modèle numérique (N) par autre modèle dont le coût de résolution est réduit (n) ?

Méthodes de réduction de modèle.

- 1. Offline : Effectuer des (pré)calculs pour construire le modèle réduit.
- 2. Online : On résoud le modèle réduit pour calculer des solutions.
- ⇒ Quelques méthodes de réduction de modèle connues :
 - Proper Orthogonal Decomposition (POD)
 - Bases réduites² (BR)

^{1.} Berkooz, G; Holmes, P; Lumley, J L (January 1993). "The Proper Orthogonal Decomposition in the Analysis of Turbulent Flows". Annual Review of Fluid Mechanics. 25 (1): 539-575.

^{2.} A. K. Noor and J. M. Peters. Reduced basis technique for nonlinear analysis of structures. AIAA Journal, 18(4):455-462, April 1980.

Approximation linéaire

Les méthodes de réduction de modèle classiques (POD,BR) sont des méthodes d'approximation linéaire.

Les méthodes de réduction de modèle classiques (POD,BR) sont des méthodes d'approximation linéaire.

On cherche une approximation $oldsymbol{u}_n(\mu) \in V_n$ de $oldsymbol{u}_h(\mu) \in \mathbb{R}^N$

$$\mathbf{u}_n(\mu) = \sum_{i=1}^n \alpha_i(\mu) \varphi_i \in V_n$$

avec $V_n = \text{vect}\{\varphi_1, \dots, \varphi_n\} \subset \mathbb{R}^N$ et $\dim V_n = n$.

Les méthodes de réduction de modèle classiques (POD,BR) sont des méthodes d'approximation linéaire.

On cherche une approximation $oldsymbol{u}_n(\mu) \in V_n$ de $oldsymbol{u}_h(\mu) \in \mathbb{R}^N$

$$\mathbf{u}_n(\mu) = \sum_{i=1}^n \alpha_i(\mu) \varphi_i \in V_n$$

avec $V_n = \text{vect}\{\varphi_1, \dots, \varphi_n\} \subset \mathbb{R}^N$ et $\dim V_n = n$.

La fonction u_n est une approximation de faible rang de u_h .

① Etape offline : espace réduit

X Cette étape peut être coûteuse mais n'est réalisée qu'une seule fois!

X Cette étape peut être coûteuse mais n'est réalisée qu'une seule fois!
Objectif. On veut construire un espace réduit

$$V_n = \text{vect}\{\varphi_1, \dots, \varphi_n\}.$$

Cette étape peut être coûteuse mais n'est réalisée qu'une seule fois!
Objectif. On veut construire un espace réduit

$$V_n = \text{vect}\{\varphi_1, \dots, \varphi_n\}.$$

Pour construire V_n on effectue des "pré-calculs" en résolvant M fois

$$F_h(\mathbf{u}_h(\mu_i), \mu_i) = 0, \quad i = 1, \dots, M,$$

pour M valeurs du paramètre $\{\mu_1,\ldots,\mu_M\}$.

On forme la matrice des snapshots

$$A = [\boldsymbol{u}_h(\mu_1), \dots, \boldsymbol{u}_h(\mu_M)] \in \mathbb{R}^{N \times M}.$$

Cette étape peut être coûteuse mais n'est réalisée qu'une seule fois!
Objectif. On veut construire un espace réduit

$$V_n = \text{vect}\{\varphi_1, \dots, \varphi_n\}.$$

Pour construire V_n on effectue des "pré-calculs" en résolvant M fois

$$F_h(\mathbf{u}_h(\mu_i), \mu_i) = 0, \quad i = 1, \dots, M,$$

pour M valeurs du paramètre $\{\mu_1,\ldots,\mu_M\}$.

On forme la matrice des snapshots

$$A = [\boldsymbol{u}_h(\mu_1), \dots, \boldsymbol{u}_h(\mu_M)] \in \mathbb{R}^{N \times M}.$$

On calcule la **décomposition en valeurs singulières** tronquée à n termes de A.

Wait a minute!

Cette étape peut être coûteuse mais n'est réalisée qu'une seule fois!
Objectif. On veut construire un espace réduit

$$V_n = \text{vect}\{\varphi_1, \dots, \varphi_n\}.$$

Pour construire V_n on effectue des "pré-calculs" en résolvant M fois

$$F_h(\mathbf{u}_h(\mu_i), \mu_i) = 0, \quad i = 1, \dots, M,$$

pour M valeurs du paramètre $\{\mu_1,\ldots,\mu_M\}$.

On forme la matrice des snapshots

$$A = [\boldsymbol{u}_h(\mu_1), \dots, \boldsymbol{u}_h(\mu_M)] \in \mathbb{R}^{N \times M}.$$

On calcule la **décomposition en valeurs singulières** tronquée à n termes de A.

Wait a minute!

 $\Rightarrow V_n$ est l'espace engendré par les n premiers ${f vecteurs}$ singuliers à gauche de A.

C'est quoi la décomposition en valeurs singulières?

On veut représenter $A \in \mathbb{R}^{N \times M}$ sous la forme d'un produit de trois matrices

$$A = \mathbf{\Phi} \mathbf{\Sigma} \mathbf{\Psi}^T = \sum_{i=1}^r \sigma_i \varphi_i \psi_i^T.$$

avec

- ullet les vect. singuliers (orthonormaux) : à gauche $arphi_i\in\mathbb{R}^N$, à droite $\psi_i\in\mathbb{R}^M$,
- les valeurs singulières $\sigma_i \in \mathbb{R}_+$,
- le rang $r = \operatorname{rang}(A) \le \min(M, N)$.

C'est quoi la décomposition en valeurs singulières?

On veut représenter $A \in \mathbb{R}^{N \times M}$ sous la forme d'un produit de trois matrices

$$A = \mathbf{\Phi} \mathbf{\Sigma} \mathbf{\Psi}^T = \sum_{i=1}^r \sigma_i \varphi_i \psi_i^T.$$

avec

- ullet les vect. singuliers (orthonormaux) : à gauche $arphi_i \in \mathbb{R}^N$, à droite $\psi_i \in \mathbb{R}^M$,
- ullet les valeurs singulières $\sigma_i \in \mathbb{R}_+$,
- le rang $r = \operatorname{rang}(A) \le \min(M, N)$.

Exemple. Pour N=6, M=5.

$$\underbrace{\begin{pmatrix} a_{11} & a_{12} & a_{13} & a_{14} & a_{15} \\ a_{21} & a_{22} & a_{23} & a_{24} & a_{25} \\ a_{31} & a_{32} & a_{33} & a_{34} & a_{35} \\ a_{41} & a_{42} & a_{43} & a_{44} & a_{45} \\ a_{51} & a_{52} & a_{53} & a_{54} & a_{55} \\ a_{61} & a_{62} & a_{63} & a_{64} & a_{65} \end{pmatrix}}_{A \in \mathbb{R}^{6 \times 5}} = \underbrace{\begin{pmatrix} \varphi_1 & \varphi_2 & \varphi_3 & \varphi_4 & \varphi_5 & \varphi_6 \\ \varphi_1 & \varphi_2 & \varphi_3 & \varphi_4 & \varphi_5 & \varphi_6 \\ \varphi_1 & \varphi_2 & \varphi_3 & \varphi_4 & \varphi_5 & \varphi_6 \\ \varphi_1 & \varphi_2 & \varphi_3 & \varphi_4 & \varphi_5 & \varphi_6 \\ & & & & & & & & & & & & & & & \\ \begin{pmatrix} \sigma_{11} & 0 & 0 & 0 & 0 & 0 \\ 0 & \sigma_{22} & 0 & 0 & 0 & 0 \\ 0 & 0 & \sigma_{33} & 0 & 0 \\ 0 & 0 & 0 & \sigma_{33} & 0 & 0 \\ 0 & 0 & 0 & \sigma_{44} & 0 \\ 0 & 0 & 0 & 0 & \sigma_{55} \\ 0 & 0 & 0 & 0 & 0 & 0 \end{pmatrix}}_{\psi_4} \underbrace{\begin{pmatrix} \psi_1 \\ \psi_2 \\ \psi_3 \\ \psi_4 \\ \psi_5 \end{pmatrix}}_{\Psi^T \in \mathbb{R}^{5 \times 5}}$$

C'est quoi la décomposition en valeurs singulières?

On veut représenter $A \in \mathbb{R}^{N \times M}$ sous la forme d'un produit de trois matrices

$$A = \mathbf{\Phi} \mathbf{\Sigma} \mathbf{\Psi}^T = \sum_{i=1}^r \sigma_i \varphi_i \psi_i^T.$$

avec

- ullet les vect. singuliers (orthonormaux) : à gauche $arphi_i \in \mathbb{R}^N$, à droite $\psi_i \in \mathbb{R}^M$,
- ullet les valeurs singulières $\sigma_i \in \mathbb{R}_+$,
- le rang $r = \operatorname{rang}(A) \le \min(M, N)$.

Exemple. Pour N=6, M=5.

$$\underbrace{\begin{pmatrix} a_{11} & a_{12} & a_{13} & a_{14} & a_{15} \\ a_{21} & a_{22} & a_{23} & a_{24} & a_{25} \\ a_{31} & a_{32} & a_{33} & a_{34} & a_{35} \\ a_{41} & a_{42} & a_{43} & a_{44} & a_{45} \\ a_{51} & a_{52} & a_{53} & a_{54} & a_{55} \\ a_{61} & a_{62} & a_{63} & a_{64} & a_{65} \end{pmatrix}}_{A \in \mathbb{R}^{0 \times 5}} = \underbrace{\begin{pmatrix} \varphi_1 & \varphi_2 & \varphi_3 & \varphi_4 & \varphi_5 & \varphi_6 \\ \varphi_1 & \varphi_2 & \varphi_3 & \varphi_4 & \varphi_5 & \varphi_6 \\ \varphi_1 & \varphi_2 & \varphi_3 & \varphi_4 & \varphi_5 & \varphi_6 \\ \varphi_1 & \varphi_2 & \varphi_3 & \varphi_4 & \varphi_5 & \varphi_6 \\ \varphi_1 & \varphi_2 & \varphi_3 & \varphi_4 & \varphi_5 & \varphi_6 \\ \varphi_2 & \varphi_3 & \varphi_4 & \varphi_5 & \varphi_6 \\ \varphi_3 & \varphi_4 & \varphi_5 & \varphi_6 \\ \varphi_4 & \varphi_5 & \varphi_6 & \varphi_6 & \varphi_6 & \varphi_6 \\ & & & & & & & & & & \\ \Sigma \in \mathbb{R}^{6 \times 5} & & & & & & \\ & & & & & & & & \\ & & & & & & & & \\ & & & & & & & & \\ & & & & & & & & \\ & & & & & & & & \\ & & & & & & & & \\ & & & & & & & & \\ & & & & & & & & \\ & & & & & & & & \\ & & & & & & & & \\ & & & & & & & \\ & & & & & & & \\ & & & & & & & \\ & & & & & & & \\ & & & & & & & \\ & & & & & & & \\ & & & & & & \\ & & & & & & \\ & & & & & & \\ & & & & & & \\ & & & & & & \\ & & & & & & \\ & & & & & & \\ & & & & & & \\ & & & & & & \\ & & & & & & \\ & & & & & \\ & & & & & \\ & & & & & & \\ & & & & & \\ & & & & & \\ & & & & & \\ & & & & & \\ & & & & & \\ & & & & & \\ & & & & & \\ & & & & & \\ & & & & & \\ & & & & & \\ & & & & \\ & & & & & \\ & &$$

Les trois premiers vecteurs singuliers à gauche forment un sous-espace réduit de \mathbb{R}^6 de dimension n=3 :

$$V_n := \text{vect}\{\varphi_1, \varphi_2, \varphi_3\}.$$

$$F_n(\mathbf{u}_n(\mu), \mu) = 0.$$

$$F_n(\boldsymbol{u}_n(\mu), \mu) = 0.$$

Ansatz. On cherche une approximation $\boldsymbol{u}_n(\mu)$ de $\boldsymbol{u}_h(\mu)$ dans V_n i.e.

$$\boldsymbol{u}_n(\mu) = \sum_{i=1}^n \alpha_i(\mu)\varphi_i = \boldsymbol{V}\boldsymbol{\alpha}_n(\mu) \in V_n,$$

 $\text{avec } \boldsymbol{V} = [\varphi_1, \dots, \varphi_n] \in \mathbb{R}^{N \times n} \text{ et } \boldsymbol{\alpha}_n(\mu) = (\alpha_1(\mu), \dots, \alpha_n(\mu))^T \in \mathbb{R}^n.$

$$F_n(\mathbf{u}_n(\mu), \mu) = 0.$$

Ansatz. On cherche une approximation $u_n(\mu)$ de $u_h(\mu)$ dans V_n i.e.

$$\boldsymbol{u}_n(\mu) = \sum_{i=1}^n \alpha_i(\mu)\varphi_i = \boldsymbol{V}\boldsymbol{\alpha}_n(\mu) \in V_n,$$

avec
$$V = [\varphi_1, \dots, \varphi_n] \in \mathbb{R}^{N \times n}$$
 et $\alpha_n(\mu) = (\alpha_1(\mu), \dots, \alpha_n(\mu))^T \in \mathbb{R}^n$.

Projection. Le modèle réduit peut être obtenu par **projection de Galerkin** dans V_n

$$\langle L_h(\mu) \boldsymbol{u}_n(\mu), \boldsymbol{v} \rangle_2 = \langle \boldsymbol{f}_h(\mu), \boldsymbol{v} \rangle_2, \quad \forall \boldsymbol{v} \in V_n,$$

$$F_n(\mathbf{u}_n(\mu), \mu) = 0.$$

Ansatz. On cherche une approximation $u_n(\mu)$ de $u_h(\mu)$ dans V_n i.e.

$$\mathbf{u}_n(\mu) = \sum_{i=1}^n \alpha_i(\mu) \varphi_i = \mathbf{V} \alpha_n(\mu) \in V_n,$$

avec
$$V = [\varphi_1, \dots, \varphi_n] \in \mathbb{R}^{N \times n}$$
 et $\alpha_n(\mu) = (\alpha_1(\mu), \dots, \alpha_n(\mu))^T \in \mathbb{R}^n$.

Projection. Le modèle réduit peut être obtenu par **projection de Galerkin** dans V_n

$$\langle L_h(\mu) \boldsymbol{u}_n(\mu), \boldsymbol{v} \rangle_2 = \langle \boldsymbol{f}_h(\mu), \boldsymbol{v} \rangle_2, \quad \forall \boldsymbol{v} \in V_n,$$

$$\Leftrightarrow \underbrace{\boldsymbol{V}^T L_h(\boldsymbol{\mu}) \boldsymbol{V}}_{L_n(\boldsymbol{\mu}) \in \mathbb{R}^{n \times n}} \boldsymbol{\alpha}_n(\boldsymbol{\mu}) = \underbrace{\boldsymbol{V}^T \boldsymbol{f}_h(\boldsymbol{\mu})}_{\boldsymbol{f}_n(\boldsymbol{\mu}) \in \mathbb{R}^{n \times n}}.$$

On a obtenu un système linéaire de taille $n \times n$!

② Etape online : résolution de $F_n(u_n(\mu)) = 0$

Système algébrique pour $n << N \,$

Pour n'importe quelle valeur de $\mu \in \mathcal{P}$ on cherche $oldsymbol{lpha}_n(\mu) \in \mathbb{R}^n$ t.q.

$$L_n(\mu)\boldsymbol{\alpha}_n(\mu) = \boldsymbol{f}_n(\mu)$$
 dans \mathbb{R}^n .

pour obtenir l'approximation $oldsymbol{u}_n(\mu) = oldsymbol{V} oldsymbol{lpha}_n(\mu)$ de $oldsymbol{u}_h(\mu).$

② Etape online : résolution de $F_n(u_n(\mu)) = 0$

Système algébrique pour $n << N \,$

Pour n'importe quelle valeur de $\mu \in \mathcal{P}$ on cherche $\pmb{\alpha}_n(\mu) \in \mathbb{R}^n$ t.q.

$$L_n(\mu)\boldsymbol{\alpha}_n(\mu) = \boldsymbol{f}_n(\mu)$$
 dans \mathbb{R}^n .

pour obtenir l'approximation $u_n(\mu) = V \alpha_n(\mu)$ de $u_h(\mu)$.

✓ Cette étape est "cheap" et peut être réalisée autant de fois que possible!

Ouestions.

- 1. Quelle est l'erreur commise quand $u_h(\mu) \approx u_n(\mu) \in V_n$: $\|u_h(\mu) u_n(\mu)\|_2$?
- 2. Peut-on la comparer à l'idéal?

Questions.

- 1. Quelle est l'erreur commise quand $m{u}_h(\mu) pprox m{u}_n(\mu) \in V_n$: $\|m{u}_h(\mu) m{u}_n(\mu)\|_2$?
- 2. Peut-on la comparer à l'idéal?

C-à-d la **meilleure approximation** de $oldsymbol{u}_h(\mu)$ pour $\|\cdot\|_2$ dans V_n

$$\|\boldsymbol{u}_h(\mu) - P_{V_n}\boldsymbol{u}_h(\mu)\|_2 = \min_{\boldsymbol{v} \in V_n} \|\boldsymbol{u}_h(\mu) - v\|_2.$$

qui est la donnée par la projection orthogonale avec $\mathrm{P}_{V_n} = oldsymbol{V} oldsymbol{V}^T$.

On suppose qu'il existe $0 < \alpha < \beta$ t.q. $L_h(\mu) \in \mathbb{R}^{N \times N}$ vérifie

$$\alpha \|\mathbf{v}\|_2^2 \le \langle L_h(\mu)\mathbf{v}, \mathbf{v} \rangle_2, \quad \forall \mathbf{v} \in \mathbb{R}^N.$$
 (3)

et

$$\langle L_h(\mu)\boldsymbol{u}, \boldsymbol{v} \rangle_2 \le \beta \|\boldsymbol{u}\|_2 \|\boldsymbol{v}\|_2, \quad \forall \boldsymbol{u}, \boldsymbol{v} \in \mathbb{R}^N.$$
 (4)

On suppose qu'il existe $0<\alpha<eta$ t.q. $L_h(\mu)\in\mathbb{R}^{N imes N}$ vérifie

$$\alpha \| \boldsymbol{v} \|_2^2 \le \langle L_h(\mu) \boldsymbol{v}, \boldsymbol{v} \rangle_2, \quad \forall \boldsymbol{v} \in \mathbb{R}^N.$$
 (3)

et

$$\langle L_h(\mu)\boldsymbol{u}, \boldsymbol{v} \rangle_2 \le \beta \|\boldsymbol{u}\|_2 \|\boldsymbol{v}\|_2, \quad \forall \boldsymbol{u}, \boldsymbol{v} \in \mathbb{R}^N.$$
 (4)

Quasi-optimalité

Il existe $\gamma > 0$ (indépendante de n) t.q.

$$\|\boldsymbol{u}_h(\mu) - \boldsymbol{u}_n(\mu)\|_2 = \gamma \min_{\boldsymbol{v} \in V_n} \|\boldsymbol{u}_h(\mu) - v\|_2.$$
 (5)

$$\langle L_h(\boldsymbol{u}_n - \boldsymbol{u}_n), \boldsymbol{v} \rangle_2 = 0, \quad \forall \boldsymbol{v} \in V_n.$$

$$\langle L_h(\boldsymbol{u}_n - \boldsymbol{u}_n), \boldsymbol{v} \rangle_2 = 0, \quad \forall \boldsymbol{v} \in V_n.$$

$$\|\boldsymbol{u}_n - \boldsymbol{u}_h\|_2^2 \stackrel{(3)}{\leq} \frac{1}{\alpha} \langle L_h(\boldsymbol{u}_n - \boldsymbol{u}_h), \boldsymbol{u}_n - \boldsymbol{u}_h \rangle_2$$

$$\langle L_h(\boldsymbol{u}_n - \boldsymbol{u}_n), \boldsymbol{v} \rangle_2 = 0, \quad \forall \boldsymbol{v} \in V_n.$$

$$\|\boldsymbol{u}_n - \boldsymbol{u}_h\|_2^2 \stackrel{\text{(3)}}{\leq} \frac{1}{\alpha} \langle L_h(\boldsymbol{u}_n - \boldsymbol{u}_h), \boldsymbol{u}_n - \boldsymbol{u}_h \rangle_2$$

$$\Rightarrow \|\boldsymbol{u}_n - \boldsymbol{u}_h\|_2^2 \leq \frac{1}{\alpha} \langle L_h(\boldsymbol{u}_n - \boldsymbol{u}_h), P_{V_n} \boldsymbol{u}_h - \boldsymbol{u}_h + \underbrace{\boldsymbol{u}_n - P_{V_n} \boldsymbol{u}_h}_{\in V_n} \rangle_2$$

$$\langle L_h(\boldsymbol{u}_n - \boldsymbol{u}_n), \boldsymbol{v} \rangle_2 = 0, \quad \forall \boldsymbol{v} \in V_n.$$

$$\|\boldsymbol{u}_n - \boldsymbol{u}_h\|_2^2 \stackrel{(3)}{\leq} \frac{1}{\alpha} \langle L_h(\boldsymbol{u}_n - \boldsymbol{u}_h), \boldsymbol{u}_n - \boldsymbol{u}_h \rangle_2$$

$$\Rightarrow \|\boldsymbol{u}_n - \boldsymbol{u}_h\|_2^2 \leq \frac{1}{\alpha} \langle L_h(\boldsymbol{u}_n - \boldsymbol{u}_h), P_{V_n} \boldsymbol{u}_h - \boldsymbol{u}_h + \underbrace{\boldsymbol{u}_n - P_{V_n} \boldsymbol{u}_h}_{\in V_n} \rangle_2$$

$$\Rightarrow \|\boldsymbol{u}_n - \boldsymbol{u}_h\|_2^2 \leq \frac{1}{\alpha} \langle L_h(\boldsymbol{u}_n - \boldsymbol{u}_h), P_{V_n} \boldsymbol{u}_h - \boldsymbol{u}_h \rangle_2$$

$$\langle L_h(\boldsymbol{u}_n - \boldsymbol{u}_n), \boldsymbol{v} \rangle_2 = 0, \quad \forall \boldsymbol{v} \in V_n.$$

$$\begin{aligned} \|\boldsymbol{u}_n - \boldsymbol{u}_h\|_2^2 &\leq \frac{1}{\alpha} \langle L_h(\boldsymbol{u}_n - \boldsymbol{u}_h), \boldsymbol{u}_n - \boldsymbol{u}_h \rangle_2 \\ \Rightarrow \|\boldsymbol{u}_n - \boldsymbol{u}_h\|_2^2 &\leq \frac{1}{\alpha} \langle L_h(\boldsymbol{u}_n - \boldsymbol{u}_h), P_{V_n} \boldsymbol{u}_h - \boldsymbol{u}_h + \underbrace{\boldsymbol{u}_n - P_{V_n} \boldsymbol{u}_h}_{\in V_n} \rangle_2 \\ \Rightarrow \|\boldsymbol{u}_n - \boldsymbol{u}_h\|_2^2 &\leq \frac{1}{\alpha} \langle L_h(\boldsymbol{u}_n - \boldsymbol{u}_h), P_{V_n} \boldsymbol{u}_h - \boldsymbol{u}_h \rangle_2 \\ \Rightarrow \|\boldsymbol{u}_n - \boldsymbol{u}_h\|_2^2 &\leq \frac{\beta}{\alpha} \|\boldsymbol{u}_n - \boldsymbol{u}_h\|_2 \|P_{V_n} \boldsymbol{u}_h - \boldsymbol{u}_h\|_2 \end{aligned}$$

$$\langle L_h(\boldsymbol{u}_n - \boldsymbol{u}_n), \boldsymbol{v} \rangle_2 = 0, \quad \forall \boldsymbol{v} \in V_n.$$

On a

$$\begin{aligned} \|\boldsymbol{u}_n - \boldsymbol{u}_h\|_2^2 &\leq \frac{1}{\alpha} \langle L_h(\boldsymbol{u}_n - \boldsymbol{u}_h), \boldsymbol{u}_n - \boldsymbol{u}_h \rangle_2 \\ \Rightarrow \|\boldsymbol{u}_n - \boldsymbol{u}_h\|_2^2 &\leq \frac{1}{\alpha} \langle L_h(\boldsymbol{u}_n - \boldsymbol{u}_h), P_{V_n} \boldsymbol{u}_h - \boldsymbol{u}_h + \underbrace{\boldsymbol{u}_n - P_{V_n} \boldsymbol{u}_h}_{\in V_n} \rangle_2 \\ \Rightarrow \|\boldsymbol{u}_n - \boldsymbol{u}_h\|_2^2 &\leq \frac{1}{\alpha} \langle L_h(\boldsymbol{u}_n - \boldsymbol{u}_h), P_{V_n} \boldsymbol{u}_h - \boldsymbol{u}_h \rangle_2 \\ \Rightarrow \|\boldsymbol{u}_n - \boldsymbol{u}_h\|_2^2 &\leq \frac{\beta}{\alpha} \|\boldsymbol{u}_n - \boldsymbol{u}_h\|_2 \|P_{V_n} \boldsymbol{u}_h - \boldsymbol{u}_h\|_2 \end{aligned}$$

D'où le résultat (5) en simplifiant et posant $\gamma = \frac{\beta}{\alpha}\,.$

$$\begin{cases}
-\mu_2 u''(x;\mu) + \mu_1 u'(x;\mu) &= f(x), \quad x \in (0,1), \\
u(1;\mu) = u(0;\mu) &= 0.
\end{cases} (6)$$

On a $\mu = (\mu_1, \mu_2) \in \mathcal{P}$ avec $\mathcal{P} = [1, 10] \times [0.01, 1]$ et f(x) = 1. Ici N = 1000.

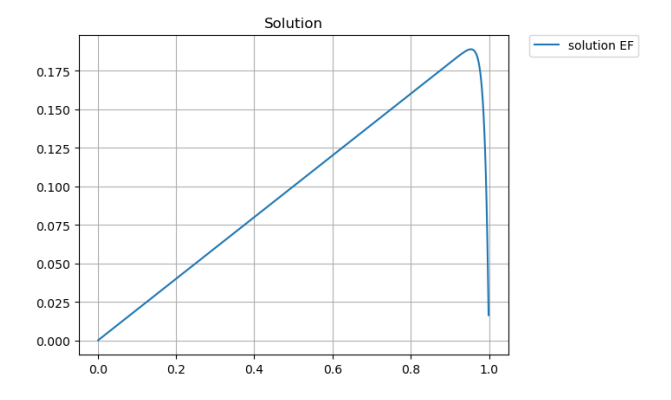


Figure - Solution numérique pour $\mu=(5,0.05)$

$$\begin{cases}
-\mu_2 u''(x;\mu) + \mu_1 u'(x;\mu) &= f(x), \quad x \in (0,1), \\
u(1;\mu) = u(0;\mu) &= 0.
\end{cases} (6)$$

On a $\mu=(\mu_1,\mu_2)\in\mathcal{P}$ avec $\mathcal{P}=[1,10]\times[0.01,1]$ et f(x)=1. Ici N=1000.

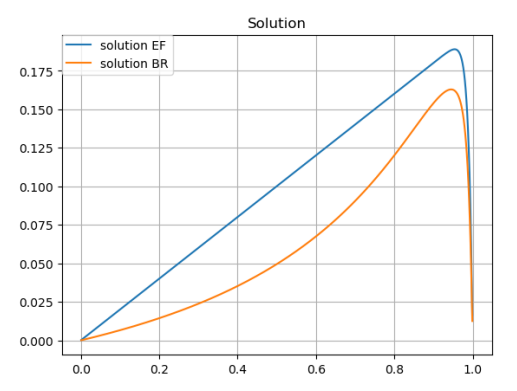


Figure - Base apprise pour M=50 valeurs de μ . Solution calculée pour n=2 et $\mu=(5,0.05)$

$$\begin{cases}
-\mu_2 u''(x;\mu) + \mu_1 u'(x;\mu) &= f(x), \quad x \in (0,1), \\
u(1;\mu) = u(0;\mu) &= 0.
\end{cases} (6)$$

On a $\mu=(\mu_1,\mu_2)\in\mathcal{P}$ avec $\mathcal{P}=[1,10]\times[0.01,1]$ et f(x)=1. Ici N=1000.

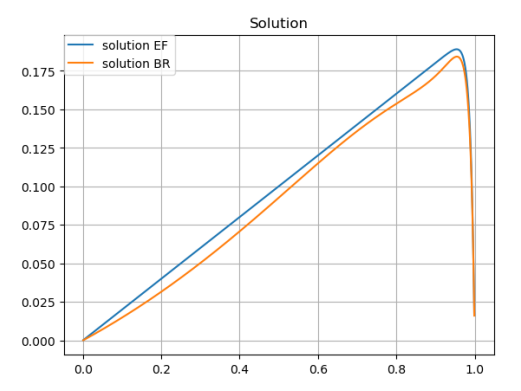


Figure – Base apprise pour M=50 valeurs de μ . Solution calculée pour n=5 et $\mu=(5,0.05)$

$$\begin{cases}
-\mu_2 u''(x;\mu) + \mu_1 u'(x;\mu) &= f(x), \quad x \in (0,1), \\
u(1;\mu) = u(0;\mu) &= 0.
\end{cases} (6)$$

On a $\mu = (\mu_1, \mu_2) \in \mathcal{P}$ avec $\mathcal{P} = [1, 10] \times [0.01, 1]$ et f(x) = 1. Ici N = 1000.

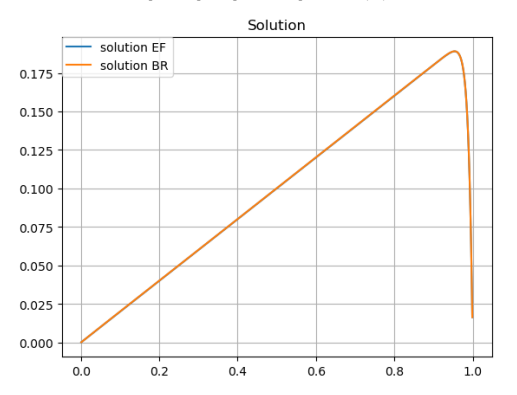


Figure - Base apprise pour M=50 valeurs de μ . Solution calculée pour n=10 et $\mu=(5,0.05)$

$$\begin{cases}
-\mu_2 u''(x;\mu) + \mu_1 u'(x;\mu) &= f(x), \quad x \in (0,1), \\
u(1;\mu) = u(0;\mu) &= 0.
\end{cases} (6)$$

On a $\mu=(\mu_1,\mu_2)\in\mathcal{P}$ avec $\mathcal{P}=[1,10]\times[0.01,1]$ et f(x)=1. Ici N=1000.

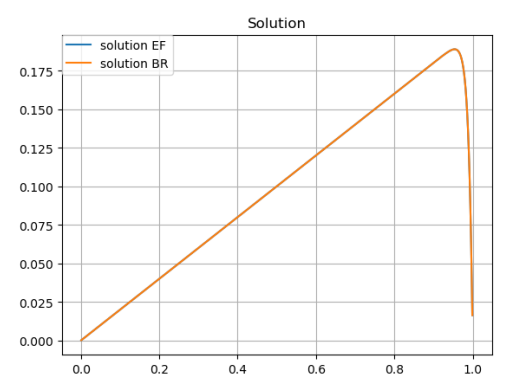


Figure - Base apprise pourM=50 valeurs de μ . Solution calculée pour n=20 et $\mu=(5,0.05)$

- 1. Introduction
- 2. Equation d'advection-diffusion dépendant de paramètres
- 3. Equation de la chaleur
- 4. Un peu de théorie
- Conclusion

Problème modèle (simple).

On cherche $u:[0,T] imes \Omega o \mathbb{R}$ solution d'une EDP d'évolution

$$\begin{cases} \partial_t \mathbf{u} = \mathcal{L}\mathbf{u}, & \text{dans } (0, T] \times \Omega, \\ \mathbf{u}(0, \cdot) = u_0, & \text{dans } \Omega, \\ + & \text{conditions aux limites sur } \partial \Omega. \end{cases}$$
 (7)

M. Billaud-Friess · ECM-AMU. I2M · Master Class ANADEAL

Problème modèle (simple).

On cherche $u:[0,T]\times\Omega\to\mathbb{R}$ solution d'une EDP d'évolution

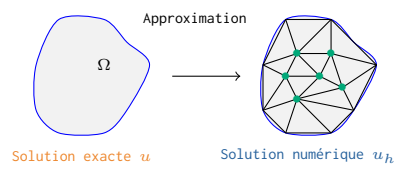
$$\begin{cases} \partial_t u = \mathcal{L}u, & \text{dans } (0,T] \times \Omega, \\ & u(0,\cdot) = u_0, & \text{dans } \Omega, \\ & + \text{ conditions aux limites sur } \partial \Omega. \end{cases}$$
 (7)

avec

- $\Omega \subset \mathbb{R}^d$ le domaine spatial
- ullet un opérateur différentiel linéaire

ex. : Equation de la chaleur $\mathcal{L}u = \nu \triangle u$

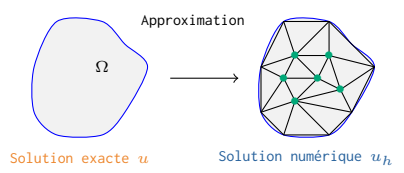
Approximation.



On veut calculer numériquement une approximation $u_h(t)$ de u(t).

ex. : Méthode éléments finis, différences finies etc.

Approximation.



On veut calculer numériquement une approximation $u_h(t)$ de u(t).

ex. : Méthode éléments finis, différences finies etc.

Système d'EDO de taille N.

En pratique, pour obtenir $u_h \approx u$, il faut calculer le vecteur des coefficients

$$\boldsymbol{u}_h:[0,T]\to\mathbb{R}^N$$

solution de

$$\frac{d}{dt}\boldsymbol{u}_h(t) = L_h\boldsymbol{u}_h(t), \text{ dans } \mathbb{R}^N$$
 (8)

avec $L_h \in \mathbb{R}^{N \times N}$.

ex. : Pour les différences finies : $\mathcal{L}=\frac{\partial^2}{\partial x^2}\Rightarrow L_h=-\frac{1}{h^2}\mathrm{tridiag}(-1,2,-1)$.

L'espace réduit

$$V_n = \text{vect}\{\varphi_1, \dots, \varphi_n\}$$

est engendré par les n premiers vecteurs singuliers à gauche de

$$A = [\boldsymbol{u}_h(t_1), \dots, \boldsymbol{u}_h(t_M)] \in \mathbb{R}^{N \times M}.$$

pour M instants $\{t_1,\ldots,t_M\}\subset [0,T]$.

L'espace réduit

$$V_n = \text{vect}\{\varphi_1, \dots, \varphi_n\}$$

est engendré par les n premiers $\operatorname{vecteurs}$ $\operatorname{singuliers}$ à gauche de

$$A = [\boldsymbol{u}_h(t_1), \dots, \boldsymbol{u}_h(t_M)] \in \mathbb{R}^{N \times M}.$$

pour M instants $\{t_1,\ldots,t_M\}\subset [0,T]$.

On cherche une approximation $u_n(t) = V \alpha_n(t) \in V_n$ solution de

$$F_n(u_n) = 0,$$

L'espace réduit

$$V_n = \text{vect}\{\varphi_1, \dots, \varphi_n\}$$

est engendré par les n premiers vecteurs singuliers à gauche de

$$A = [\boldsymbol{u}_h(t_1), \dots, \boldsymbol{u}_h(t_M)] \in \mathbb{R}^{N \times M}.$$

pour M instants $\{t_1,\ldots,t_M\}\subset [0,T]$.

On cherche une approximation $u_n(t) = V lpha_n(t) \in V_n$ solution de

$$F_n(u_n) = 0,$$

obtenu par **projection de Galerkin** dans V_n

$$\frac{d}{dt}\alpha_n(t) = \underbrace{\boldsymbol{V}^T L_h \boldsymbol{V}}_{L_n \in \mathbb{R}^n \times n} \alpha_n(t).$$

On a obtenu un système d'EDOs de taille $n \times n$!

② Etape online : résolution de $F_n(u_n(\mu)) = 0$

Système d'EDO de taille $n << N \,$

On cherche $oldsymbol{lpha}_n:[0,T]
ightarrow \mathbb{R}^n$ solution de

$$\frac{d}{dt}\alpha_n(t) = L_n\alpha_n(t), t \in (0, T]$$

avec la condition initiale $\alpha(0) = V^T u_{h,0}$.

Soit ℓ la constante de lipschitz logarithmique pour $L_h(\mu) \in \mathbb{R}^{N \times N}$ t.q.

$$\ell := \sup_{x \neq 0} \frac{\langle L_h v, v \rangle_2}{\|v\|_2} = \lambda_{max} \left(\frac{1}{2} (L_h + L_h^T) \right). \tag{9}$$

Borne de l'erreur

Pour tout $t \in [0,T]$, on a

$$\|\boldsymbol{u}_h(t) - \boldsymbol{u}_n(t)\|_2 \le e^{\ell t} \underbrace{\|\boldsymbol{u}_n(0) - \boldsymbol{u}_h(0)\|_2}_{\textcircled{\tiny 0}} + \int_0^t e^{\ell(t-s)} \underbrace{\|(\mathbf{I}_N - \mathbf{P}_{V_n})L_h\boldsymbol{u}_n(s)\|_2}_{\textcircled{\tiny 2}} ds, \quad (10)$$

avec les erreurs de projection dans V_n

- ① de la condition initiale : $\boldsymbol{u}_n(0) = P_{V_n} \boldsymbol{u}_h(0)$,
- 2 du "second membre" : $(I_N P_{V_n})L_h u_n$.

Preuve. Rappelons que pour tout $t \in (0,T]$ on a

$$\frac{d}{dt}\mathbf{u}_h = L_h\mathbf{u}_h, \qquad \frac{d}{dt}\mathbf{u}_n = P_{V_n}L_h\mathbf{u}_n.$$

$$\frac{d}{dt}\mathbf{u}_h = L_h\mathbf{u}_h, \qquad \frac{d}{dt}\mathbf{u}_n = P_{V_n}L_h\mathbf{u}_n.$$

$$\frac{d}{dt}(\boldsymbol{u}_h - \boldsymbol{u}_n) = L_h \boldsymbol{u}_h - P_{V_n} L_h \boldsymbol{u}_n$$

$$\frac{d}{dt}\boldsymbol{u}_h = L_h \boldsymbol{u}_h, \qquad \frac{d}{dt}\boldsymbol{u}_n = P_{V_n} L_h \boldsymbol{u}_n.$$

$$\frac{d}{dt}(\boldsymbol{u}_h - \boldsymbol{u}_n) = L_h \boldsymbol{u}_h - P_{V_n} L_h \boldsymbol{u}_n$$

$$\Rightarrow \frac{d}{dt}(\boldsymbol{u}_h - \boldsymbol{u}_n) = L_h(\boldsymbol{u}_h - \boldsymbol{u}_n) + (\mathrm{I}_N - \mathrm{P}_{V_n})L_h\boldsymbol{u}_n$$

$$\frac{d}{dt}\boldsymbol{u}_h = L_h \boldsymbol{u}_h, \qquad \frac{d}{dt}\boldsymbol{u}_n = P_{V_n} L_h \boldsymbol{u}_n.$$

$$\frac{d}{dt}(\boldsymbol{u}_h - \boldsymbol{u}_n) = L_h \boldsymbol{u}_h - P_{V_n} L_h \boldsymbol{u}_n$$

$$\Rightarrow \frac{d}{dt}(\boldsymbol{u}_h - \boldsymbol{u}_n) = L_h(\boldsymbol{u}_h - \boldsymbol{u}_n) + (I_N - P_{V_n})L_h\boldsymbol{u}_n$$

$$\Rightarrow \langle \frac{\frac{d}{dt}(\mathbf{u}_h - \mathbf{u}_n), \mathbf{u}_h - \mathbf{u}_n \rangle_2 = \langle L_h(\mathbf{u}_h - \mathbf{u}_n), \mathbf{u}_h - \mathbf{u}_n \rangle_2 + \langle (\mathbf{I}_N - \mathbf{P}_{V_n}) L_h \mathbf{u}_n, \mathbf{u}_h - \mathbf{u}_n \rangle_2.$$

$$\frac{d}{dt}\boldsymbol{u}_h = L_h \boldsymbol{u}_h, \qquad \frac{d}{dt}\boldsymbol{u}_n = P_{V_n} L_h \boldsymbol{u}_n.$$

$$\frac{d}{dt}(\boldsymbol{u}_h - \boldsymbol{u}_n) = L_h \boldsymbol{u}_h - P_{V_n} L_h \boldsymbol{u}_n$$

$$\Rightarrow \frac{d}{dt}(\boldsymbol{u}_h - \boldsymbol{u}_n) = L_h(\boldsymbol{u}_h - \boldsymbol{u}_n) + (I_N - P_{V_n})L_h\boldsymbol{u}_n$$

$$\Rightarrow \langle \frac{d}{dt}(\mathbf{u}_h - \mathbf{u}_n), \mathbf{u}_h - \mathbf{u}_n \rangle_2 = \langle L_h(\mathbf{u}_h - \mathbf{u}_n), \mathbf{u}_h - \mathbf{u}_n \rangle_2 + \langle (\mathbf{I}_N - \mathbf{P}_{V_n}) L_h \mathbf{u}_n, \mathbf{u}_h - \mathbf{u}_n \rangle_2.$$

$$\Rightarrow \|\boldsymbol{u}_h - \boldsymbol{u}_n\|_2 \frac{d}{dt} \|\boldsymbol{u}_h - \boldsymbol{u}_n\|_2 = \langle L_h(\boldsymbol{u}_h - \boldsymbol{u}_n), \boldsymbol{u}_h - \boldsymbol{u}_n \rangle_2 - \langle (\mathbf{I}_N - \mathbf{P}_{V_n}) L_h \boldsymbol{u}_n, \boldsymbol{u}_h - \boldsymbol{u}_n \rangle_2.$$

$$\frac{d}{dt}\boldsymbol{u}_h = L_h \boldsymbol{u}_h, \qquad \frac{d}{dt}\boldsymbol{u}_n = P_{V_n} L_h \boldsymbol{u}_n.$$

$$\frac{d}{dt}(\boldsymbol{u}_h - \boldsymbol{u}_n) = L_h \boldsymbol{u}_h - P_{V_n} L_h \boldsymbol{u}_n$$

$$\Rightarrow \frac{d}{dt}(\boldsymbol{u}_h - \boldsymbol{u}_n) = L_h(\boldsymbol{u}_h - \boldsymbol{u}_n) + (I_N - P_{V_n})L_h\boldsymbol{u}_n$$

$$\Rightarrow \langle \frac{d}{dt}(\mathbf{u}_h - \mathbf{u}_n), \mathbf{u}_h - \mathbf{u}_n \rangle_2 = \langle L_h(\mathbf{u}_h - \mathbf{u}_n), \mathbf{u}_h - \mathbf{u}_n \rangle_2 + \langle (\mathbf{I}_N - \mathbf{P}_{V_n}) L_h \mathbf{u}_n, \mathbf{u}_h - \mathbf{u}_n \rangle_2.$$

$$\Rightarrow \|\boldsymbol{u}_h - \boldsymbol{u}_n\|_2 \frac{d}{dt} \|\boldsymbol{u}_h - \boldsymbol{u}_n\|_2 = \langle L_h(\boldsymbol{u}_h - \boldsymbol{u}_n), \boldsymbol{u}_h - \boldsymbol{u}_n \rangle_2 - \langle (\mathbf{I}_N - \mathbf{P}_{V_n}) L_h \boldsymbol{u}_n, \boldsymbol{u}_h - \boldsymbol{u}_n \rangle_2.$$

$$\Rightarrow \|\boldsymbol{u}_h - \boldsymbol{u}_n\|_2 \frac{d}{dt} \|\boldsymbol{u}_h - \boldsymbol{u}_n\|_2 \stackrel{(9)}{\leq} \ell \|\boldsymbol{u}_h - \boldsymbol{u}_n\|_2^2 + \|(\mathbf{I}_N - \mathbf{P}_{V_n})L_h\boldsymbol{u}_n\| \|\boldsymbol{u}_h - \boldsymbol{u}_n\|_2.$$

$$\frac{d}{dt}\mathbf{u}_h = L_h\mathbf{u}_h, \qquad \frac{d}{dt}\mathbf{u}_n = P_{V_n}L_h\mathbf{u}_n.$$

En soustrayant membre à membre

$$\frac{d}{dt}(\boldsymbol{u}_h - \boldsymbol{u}_n) = L_h \boldsymbol{u}_h - P_{V_n} L_h \boldsymbol{u}_n$$

$$\Rightarrow \frac{d}{dt}(\boldsymbol{u}_h - \boldsymbol{u}_n) = L_h(\boldsymbol{u}_h - \boldsymbol{u}_n) + (I_N - P_{V_n})L_h\boldsymbol{u}_n$$

$$\Rightarrow \langle \frac{d}{dt}(\boldsymbol{u}_h - \boldsymbol{u}_n), \boldsymbol{u}_h - \boldsymbol{u}_n \rangle_2 = \langle L_h(\boldsymbol{u}_h - \boldsymbol{u}_n), \boldsymbol{u}_h - \boldsymbol{u}_n \rangle_2 + \langle (I_N - P_{V_n})L_h\boldsymbol{u}_n, \boldsymbol{u}_h - \boldsymbol{u}_n \rangle_2.$$

$$\Rightarrow \|\boldsymbol{u}_h - \boldsymbol{u}_n\|_2 \frac{d}{dt} \|\boldsymbol{u}_h - \boldsymbol{u}_n\|_2 = \langle L_h(\boldsymbol{u}_h - \boldsymbol{u}_n), \boldsymbol{u}_h - \boldsymbol{u}_n \rangle_2 - \langle (I_N - P_{V_n})L_h\boldsymbol{u}_n, \boldsymbol{u}_h - \boldsymbol{u}_n \rangle_2.$$

$$\Rightarrow \|\boldsymbol{u}_h - \boldsymbol{u}_n\|_2 \frac{d}{d} \|\boldsymbol{u}_h - \boldsymbol{u}_n\|_2 \stackrel{\text{(9)}}{\leq} \ell \|\boldsymbol{u}_h - \boldsymbol{u}_n\|_2^2 + \|(I_N - P_{V_n})L_h\boldsymbol{u}_n\| \|\boldsymbol{u}_h - \boldsymbol{u}_n\|_2.$$

$$\Rightarrow \frac{d}{dt}\|\boldsymbol{u}_h - \boldsymbol{u}_n\|_2 \leq \ell \|\boldsymbol{u}_h - \boldsymbol{u}_n\|_2 + \|(\mathrm{I}_N - \mathrm{P}_{V_n})L_h\boldsymbol{u}_n\|.$$

On obtient le résultat par le lemme de comparaison.

Soit $\{t^0,\dots,t^K\}$ un maillage uniforme de [0,T] : $t^k=k\delta t, \delta t=\frac{T}{K}.$

Soit $\{t^0,\dots,t^K\}$ un maillage uniforme de [0,T] : $t^k=k\delta t, \delta t=\frac{T}{K}$.

On cherche une approximation de la fonction $oldsymbol{u}_n$ en t^k i.e.

$$\boldsymbol{u}_n(t^k) \approx \boldsymbol{u}_n^k := \boldsymbol{V} \boldsymbol{\alpha}_n^k$$

e.g. par schéma **d'Euler implicite** qui permet de construire $\{ \pmb{\alpha}_n^k \}_{k=0}^K$ en résolvant

$$(\mathbf{I}_N - \delta t L_n) \boldsymbol{\alpha}_n^{k+1} = \boldsymbol{\alpha}_n^k, \quad k = 0, \dots, K-1$$

avec ${m lpha}^0 = {m lpha}(0)$.

Soit $\{t^0,\dots,t^K\}$ un maillage uniforme de [0,T] : $t^k=k\delta t, \delta t=\frac{T}{K}$.

On cherche une approximation de la fonction $oldsymbol{u}_n$ en t^k i.e.

$$\boldsymbol{u}_n(t^k) \approx \boldsymbol{u}_n^k := \boldsymbol{V} \boldsymbol{\alpha}_n^k$$

e.g. par schéma **d'Euler implicite** qui permet de construire $\{m{lpha}_n^k\}_{k=0}^K$ en résolvant

$$(\mathbf{I}_N - \delta t L_n) \boldsymbol{\alpha}_n^{k+1} = \boldsymbol{\alpha}_n^k, \quad k = 0, \dots, K-1$$

avec $\alpha^0 = \alpha(0)$.

✓ On résout une succession de petits problèmes linéaires de taille $n \times n$, K fois!

$$\begin{cases} \partial_t u(t,x) &= \partial_{xx}^2 u(t,x), \quad x \in \Omega, \\ u(t,0) &= u(t,1) = 0, \end{cases}$$
 (11)

avec $u(0,x)=\mathbf{1}_{[0.1,0.3]}(x)-\mathbf{1}_{[0.6,0.8]}(x)$, T=0.5. Ici K=200, N=1000.

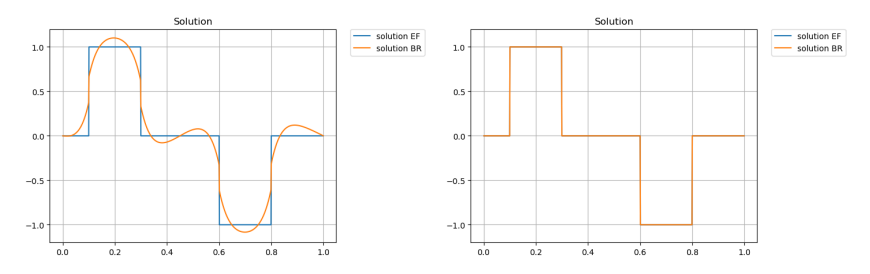


Figure - Base apprise pour M=50. Solution à t=0 pour n=2 (gauche) n=20 (droite).

$$\begin{cases}
\partial_t u(t,x) &= \partial_{xx}^2 u(t,x), \quad x \in \Omega, \\
u(t,0) &= u(t,1) = 0,
\end{cases}$$
(11)

avec $u(0,x)=\mathbf{1}_{[0.1,0.3]}(x)-\mathbf{1}_{[0.6,0.8]}(x)$, T=0.5. Ici K=200, N=1000.

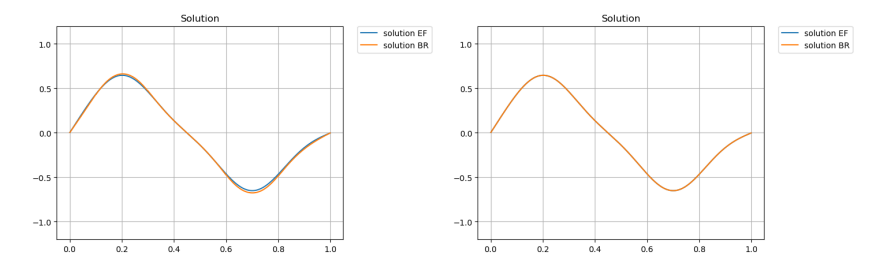


Figure - Base apprise pour M=50. Solution à t=0.05 pour n=2 (gauche) n=20 (droite).

$$\begin{cases} \partial_t u(t,x) &=& \partial^2_{xx} u(t,x), \quad x \in \Omega, \\ u(t,0) &=& u(t,1) = 0, \end{cases}$$
 (11)

avec $u(0,x)=\mathbf{1}_{[0.1,0.3]}(x)-\mathbf{1}_{[0.6,0.8]}(x)$, T=0.5. Ici K=200, N=1000.

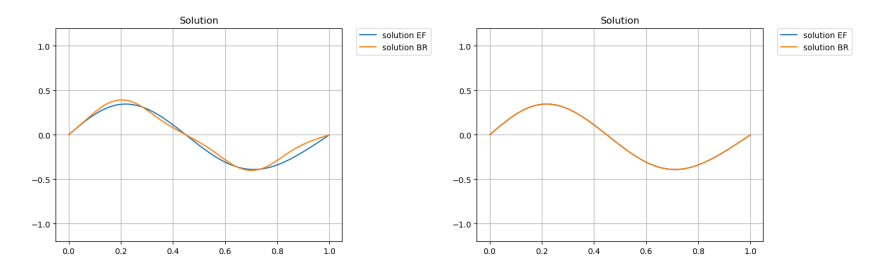


Figure - Base apprise pour M=50. Solution à t=0.15 pour n=2 (gauche) n=20 (droite).

$$\begin{cases} \partial_t u(t,x) &= \partial_{xx}^2 u(t,x), \quad x \in \Omega, \\ u(t,0) &= u(t,1) = 0, \end{cases}$$
 (11)

avec $u(0,x)=\mathbf{1}_{[0.1,0.3]}(x)-\mathbf{1}_{[0.6,0.8]}(x)$, T=0.5. Ici K=200, N=1000.

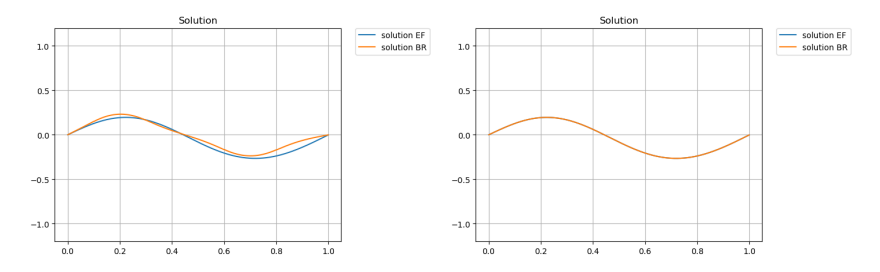


Figure - Base apprise pour M=50. Solution à t=0.25 pour n=2 (gauche) n=20 (droite).

$$\begin{cases} \partial_t u(t,x) &= \partial_{xx}^2 u(t,x), \quad x \in \Omega, \\ u(t,0) &= u(t,1) = 0, \end{cases}$$
 (11)

avec $u(0,x)=\mathbf{1}_{[0.1,0.3]}(x)-\mathbf{1}_{[0.6,0.8]}(x)$, T=0.5. Ici K=200, N=1000.

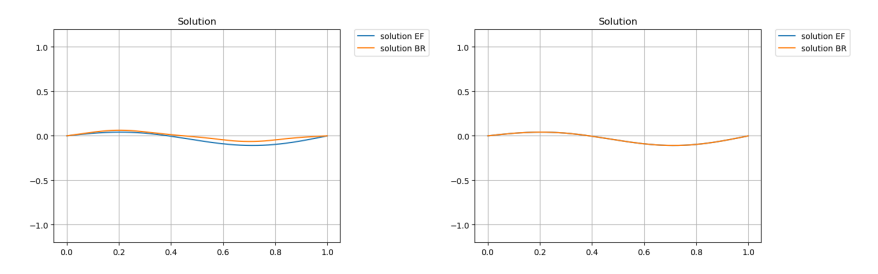


Figure - Base apprise pour M=50. Solution à t=0.5 pour n=2 (gauche) n=20 (droite).

- Introduction
- 2. Equation d'advection-diffusion dépendant de paramètres
- 3. Equation de la chaleur
- 4. Un peu de théorie

5. Conclusion

Bilan.

Equation de la chaleur

$$u_n(t) = \sum_{i=1}^n \alpha_i(t) \varphi_i \in V_n$$

Equation d'advection diffusion

$$\boldsymbol{u}_n(\mu) = \sum_{i=1}^n \alpha_i(\mu) \varphi_i \in V_n$$

Bilan.

Equation de la chaleur

$$\boldsymbol{u}_n(t) = \sum_{i=1}^n \alpha_i(t) \varphi_i \in V_n$$

Equation d'advection diffusion

$$\boldsymbol{u}_n(\mu) = \sum_{i=1}^n \alpha_i(\mu) \varphi_i \in V_n$$

Question. Pourquoi une approximation sous format $oldsymbol{u}_npprox oldsymbol{u}_h$ de rang n "fonctionne"?

Bilan.

Equation de la chaleur

$$u_n(t) = \sum_{i=1}^n \alpha_i(t) \varphi_i \in V_n$$

Equation d'advection diffusion

$$u_n(\mu) = \sum_{i=1}^n \alpha_i(\mu)\varphi_i \in V_n$$

Question. Pourquoi une approximation sous format $oldsymbol{u}_npprox oldsymbol{u}_h$ de rang n "fonctionne"?

Réponse. On cherche des approximations par le biais de projections dans des espaces V_n (quasi)-optimaux.

Optimalité de la base réduite [QMN, §6.3.1.]

Soit

$$\mathcal{V}_n := \{ \boldsymbol{W} \in \mathbb{R}^{N \times n} : \boldsymbol{W} \boldsymbol{W}^T = \mathbf{I}_n \}$$

l'ensemble des matrices orthonormées. Alors

$$\sum_{i=1}^{M} \|\boldsymbol{u}_h(\mu_i) - \boldsymbol{\Phi}_n \boldsymbol{\Phi}_n^T \boldsymbol{u}_h(\mu_i)\|_2^2 = \min_{\mathbf{W} \in \mathcal{V}_n} \sum_{i=1}^{M} \|\boldsymbol{u}_h(\mu_i) - \boldsymbol{W} \boldsymbol{W}^T \boldsymbol{u}_h(\mu_i)\|_2^2 = \sum_{i=n+1}^{r} \sigma_i^2, \quad (12)$$

Optimalité de la base réduite [OMN, §6.3.1.]

Soit

$$\mathcal{V}_n := \{ \boldsymbol{W} \in \mathbb{R}^{N \times n} : \boldsymbol{W} \boldsymbol{W}^T = \mathbf{I}_n \}$$

l'ensemble des matrices orthonormées. Alors

$$\sum_{i=1}^{M} \|\boldsymbol{u}_{h}(\mu_{i}) - \boldsymbol{\Phi}_{n} \boldsymbol{\Phi}_{n}^{T} \boldsymbol{u}_{h}(\mu_{i})\|_{2}^{2} = \min_{\mathbf{W} \in \mathcal{V}_{n}} \sum_{i=1}^{M} \|\boldsymbol{u}_{h}(\mu_{i}) - \boldsymbol{W} \boldsymbol{W}^{T} \boldsymbol{u}_{h}(\mu_{i})\|_{2}^{2} = \sum_{i=n+1}^{r} \sigma_{i}^{2}, \quad (12)$$

avec

- $\Phi_n = [\varphi_1, \dots, \varphi_n] \in \mathbb{R}^{N \times n}$.
- $\{\sigma_i\}_{i=1}^r\subset\mathbb{R}_+$ les valeurs singulières de
- la matrice de snapshots $A = [\boldsymbol{u}_h(\mu_1), \dots, \boldsymbol{u}_h(\mu_M)] \in \mathbb{R}^{N \times n}$.

Considérons

$$\mathcal{M}_{h}^{M} = \{ \boldsymbol{u}_{h}(\mu_{i}) : i = 1, \dots, M \},$$

l'ensemble des solutions associé aux $\{\mu_1,\ldots,\mu_M\}\subset\mathcal{P}$.

Considérons

$$\mathcal{M}_{h}^{M} = \{ \boldsymbol{u}_{h}(\mu_{i}) : i = 1, \dots, M \},$$

l'ensemble des solutions associé aux $\{\mu_1,\ldots,\mu_M\}\subset\mathcal{P}$. Ainsi (12) implique

$$\sum_{i=1}^{M} \| \boldsymbol{u}_h(\mu_i) - P_{V_n} \boldsymbol{u}_h(\mu_i) \|_2^2 = \min_{V \subset \mathbb{R}^N, \dim V = n_{i=1}} \sum_{i=1}^{M} \| \boldsymbol{u}_h(\mu_i) - P_V \boldsymbol{u}_h(\mu_i) \|_2^2 = \sum_{i=n+1}^{r} \sigma_i^2.$$

Considérons

$$\mathcal{M}_{h}^{M} = \{ \boldsymbol{u}_{h}(\mu_{i}) : i = 1, \dots, M \},$$

l'ensemble des solutions associé aux $\{\mu_1,\ldots,\mu_M\}\subset\mathcal{P}.$ Ainsi (12) implique

$$\sum_{i=1}^{M} \| \boldsymbol{u}_h(\mu_i) - \mathbf{P}_{V_n} \boldsymbol{u}_h(\mu_i) \|_2^2 = \min_{V \subset \mathbb{R}^N, \dim V = n} \sum_{i=1}^{M} \| \boldsymbol{u}_h(\mu_i) - P_V \boldsymbol{u}_h(\mu_i) \|_2^2 = \sum_{i=n+1}^{r} \sigma_i^2.$$

Cela signifie que l'espace $V_n = \operatorname{vectcol}(\Phi) = \operatorname{vect}\{\varphi_1, \dots, \varphi_n\}$

1. est **optimal** i.e. le meilleur sous-espace de dimension n de \mathbb{R}^N

Considérons

$$\mathcal{M}_h^M = \{ \boldsymbol{u}_h(\mu_i) : i = 1, \dots, M \},\$$

l'ensemble des solutions associé aux $\{\mu_1,\ldots,\mu_M\}\subset\mathcal{P}.$ Ainsi (12) implique

$$\sum_{i=1}^{M} \| \boldsymbol{u}_h(\mu_i) - \mathbf{P}_{V_n} \boldsymbol{u}_h(\mu_i) \|_2^2 = \min_{V \subset \mathbb{R}^N, \dim V = n} \sum_{i=1}^{M} \| \boldsymbol{u}_h(\mu_i) - P_V \boldsymbol{u}_h(\mu_i) \|_2^2 = \sum_{i=n+1}^{r} \sigma_i^2.$$

Cela signifie que l'espace $V_n = \operatorname{vectcol}(\Phi) = \operatorname{vect}\{\varphi_1, \dots, \varphi_n\}$

- 1. est **optimal** i.e. le meilleur sous-espace de dimension n de \mathbb{R}^N
- 2. qui approche \mathcal{M}_{b}^{M} en norme 2.

Considérons

$$\mathcal{M}_{h}^{M} = \{ \boldsymbol{u}_{h}(\mu_{i}) : i = 1, \dots, M \},$$

l'ensemble des solutions associé aux $\{\mu_1,\ldots,\mu_M\}\subset\mathcal{P}.$ Ainsi (12) implique

$$\sum_{i=1}^{M} \| \boldsymbol{u}_h(\mu_i) - \mathbf{P}_{V_n} \boldsymbol{u}_h(\mu_i) \|_2^2 = \min_{V \subset \mathbb{R}^N, \dim V = n} \sum_{i=1}^{M} \| \boldsymbol{u}_h(\mu_i) - P_V \boldsymbol{u}_h(\mu_i) \|_2^2 = \sum_{i=n+1}^{r} \sigma_i^2.$$

Cela signifie que l'espace $V_n = \operatorname{vectcol}(\Phi) = \operatorname{vect}\{\varphi_1, \dots, \varphi_n\}$

- 1. est **optimal** i.e. le meilleur sous-espace de dimension n de \mathbb{R}^N
- 2. qui approche \mathcal{M}_h^M en norme 2.
- 3. L'erreur commise quand on considère $V_n \approx \mathcal{M}_h^M$ est $\sum_{i=n+1}^r \sigma_i^2$.

Soit $A \in \mathbb{R}^{N \times M}$. On a

$$||A - \mathbf{\Phi}_n \mathbf{\Phi}_n^T A||_F = \min_{B \in \mathbb{R}^{N \times M}, \operatorname{rang}(B) \le n} ||A - B||_F = \sqrt{\sum_{i=n+1}^r \sigma_i^2}.$$

Soit $A \in \mathbb{R}^{N \times M}$. On a

$$||A - \mathbf{\Phi}_n \mathbf{\Phi}_n^T A||_F = \min_{B \in \mathbb{R}^{N \times M, \text{rang}(B)} \le n} ||A - B||_F = \sqrt{\sum_{i=n+1}^r \sigma_i^2}.$$

Eléments de preuve (Optimalité). On a

$$\sum_{i=1}^{M} \| \boldsymbol{u}_{h}(\mu_{i}) - \boldsymbol{\Phi}_{n} \boldsymbol{\Phi}_{n}^{T} \boldsymbol{u}_{h}(\mu_{i}) \|_{2}^{2} = \| A - \boldsymbol{\Phi}_{n} \boldsymbol{\Phi}_{n}^{T} A \|_{F}^{2}$$

Soit $A \in \mathbb{R}^{N \times M}$. On a

$$||A - \mathbf{\Phi}_n \mathbf{\Phi}_n^T A||_F = \min_{B \in \mathbb{R}^{N \times M}, \operatorname{rang}(B) \le n} ||A - B||_F = \sqrt{\sum_{i=n+1}^r \sigma_i^2}.$$

Eléments de preuve (Optimalité). On a

$$\sum_{i=1}^{M} \| \boldsymbol{u}_{h}(\mu_{i}) - \boldsymbol{\Phi}_{n} \boldsymbol{\Phi}_{n}^{T} \boldsymbol{u}_{h}(\mu_{i}) \|_{2}^{2} = \| A - \boldsymbol{\Phi}_{n} \boldsymbol{\Phi}_{n}^{T} A \|_{F}^{2}$$

Par Eckart Young, on a pour tout B de rang n

$$||A - \mathbf{\Phi}_n \mathbf{\Phi}_n^T A||_{\mathbf{F}}^2 \le ||A - B||_{\mathbf{F}}^2$$

Soit $A \in \mathbb{R}^{N \times M}$. On a

$$||A - \mathbf{\Phi}_n \mathbf{\Phi}_n^T A||_{\mathbf{F}} = \min_{B \in \mathbb{R}^{N \times M, \operatorname{rang}(B)} \le n} ||A - B||_{\mathbf{F}} = \sqrt{\sum_{i=n+1}^r \sigma_i^2}.$$

Eléments de preuve (Optimalité). On a

$$\sum_{i=1}^{M} \|\boldsymbol{u}_h(\mu_i) - \boldsymbol{\Phi}_n \boldsymbol{\Phi}_n^T \boldsymbol{u}_h(\mu_i)\|_2^2 = \|A - \boldsymbol{\Phi}_n \boldsymbol{\Phi}_n^T A\|_F^2$$

Par Eckart Young, on a pour tout B de rang n

$$||A - \mathbf{\Phi}_n \mathbf{\Phi}_n^T A||_F^2 \le ||A - B||_F^2$$

en particulier si $B = \boldsymbol{W} \boldsymbol{W}^T A$ avec $W \in \mathcal{V}_n$

$$||A - \mathbf{\Phi}_n \mathbf{\Phi}_n^T A||_F^2 \le ||A - WW^T A||_F^2$$

Soit $A \in \mathbb{R}^{N \times M}$. On a

$$||A - \mathbf{\Phi}_n \mathbf{\Phi}_n^T A||_{\mathbf{F}} = \min_{B \in \mathbb{R}^{N \times M, \operatorname{rang}(B)} \le n} ||A - B||_{\mathbf{F}} = \sqrt{\sum_{i=n+1}^r \sigma_i^2}.$$

Eléments de preuve (Optimalité). On a

$$\sum_{i=1}^{M} \|\boldsymbol{u}_h(\mu_i) - \boldsymbol{\Phi}_n \boldsymbol{\Phi}_n^T \boldsymbol{u}_h(\mu_i)\|_2^2 = \|A - \boldsymbol{\Phi}_n \boldsymbol{\Phi}_n^T A\|_F^2$$

Par Eckart Young, on a pour tout B de rang n

$$||A - \mathbf{\Phi}_n \mathbf{\Phi}_n^T A||_F^2 \le ||A - B||_F^2$$

en particulier si $B = \boldsymbol{W} \boldsymbol{W}^T A$ avec $W \in \mathcal{V}_n$

$$||A - \mathbf{\Phi}_n \mathbf{\Phi}_n^T A||_F^2 \le ||A - WW^T A||_F^2$$

On retrouve (12) en passant au min sur \mathcal{V}_n .

- 1. L'efficacité de la SVD est liée aux valeurs singulières de A.
- 2. Si elles décroissent vite, un espace V_n de petite dimension n suffit pour bien approcher \mathcal{M}_h^M !

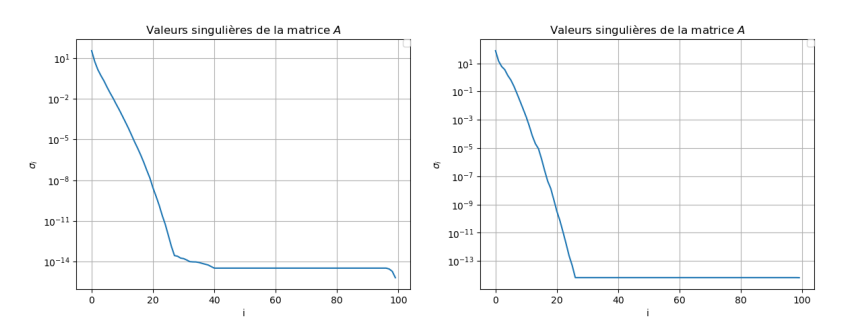


Figure - Valeurs singulières de A pour l'équation d'advection diffusion (gauche) et de la chaleur (droite).

${\tt Optimalit\'e\ en\ norme\ 2}$

$$d_2^M(V_n, \mathcal{M}_h^M) := \left(\sum_{i=1}^M \|\boldsymbol{u}_h(\mu_i) - P_{V_n}\boldsymbol{u}_h(\mu_i)\|_2^2\right)^{1/2}$$

Optimalité en norme 2

$$d_2^M(V_n, \mathcal{M}_h^M) := \left(\sum_{i=1}^M \|\boldsymbol{u}_h(\mu_i) - P_{V_n}\boldsymbol{u}_h(\mu_i)\|_2^2\right)^{1/2}$$

Optimalité en norme ∞

On définit la *n*-épaisseur de Kolmogorov

$$d_{\infty}^{M}(V_{n}, \mathcal{M}_{h}^{M}) := \min_{V \subset \mathbb{R}^{N}, \dim V = n} \max_{i=1, M} \|\boldsymbol{u}_{h}(\mu_{i}) - P_{V}\boldsymbol{u}_{h}(\mu_{i})\|_{2}$$
(13)

Optimalité en norme 2

$$d_2^M(V_n, \mathcal{M}_h^M) := \left(\sum_{i=1}^M \|\boldsymbol{u}_h(\mu_i) - P_{V_n}\boldsymbol{u}_h(\mu_i)\|_2^2\right)^{1/2}$$

Optimalité en norme ∞

On définit la n-épaisseur de Kolmogorov

$$d_{\infty}^{M}(V_{n}, \mathcal{M}_{h}^{M}) := \min_{V \subset \mathbb{R}^{N}, \dim V = n} \max_{i=1, M} \|\boldsymbol{u}_{h}(\mu_{i}) - P_{V}\boldsymbol{u}_{h}(\mu_{i})\|_{2}$$
(13)

 ${}^{ ext{\tiny LSP}}$ Par définition des normes 2 et ∞ sur \mathbb{R}^M

$$M^{-1/2}d_2^M(V_n, \mathcal{M}_h^M) \le d_{\infty}^M(V_n, \mathcal{M}_h^M) \le d_2^M(V_n, \mathcal{M}_h^M).$$

Résoudre le problème (13) n'est pas trivial en pratique.

Soit $V_0=\{0\}$. Pour $\ell=1,\ldots,n$ on construit V_ℓ comme il suit.

1) Sélectionner

$$\mu_{\ell} \in \arg\max_{i=1,\dots,M} \|\boldsymbol{u}_h(\mu_i) - P_{V_{\ell-1}}\boldsymbol{u}_h(\mu_i)\|_2..$$

- 2) Calculer le snapshot $u_h(\mu_\ell)$ solution de $F_h(u_h(\mu_\ell), \mu_\ell) = 0$.
- 3) Poser $V_\ell = \operatorname{vect}\{\boldsymbol{u}_h(\mu_1), \dots, \boldsymbol{u}_h(\mu_\ell)\}$.

Soit $V_0=\{0\}$. Pour $\ell=1,\ldots,n$ on construit V_ℓ comme il suit.

1) Sélectionner

$$\mu_{\ell} \in \arg\max_{i=1,\dots,M} \|\boldsymbol{u}_h(\mu_i) - P_{V_{\ell-1}}\boldsymbol{u}_h(\mu_i)\|_2..$$

- 2) Calculer le snapshot $u_h(\mu_\ell)$ solution de $F_h(u_h(\mu_\ell), \mu_\ell) = 0$.
- 3) Poser $V_{\ell} = \text{vect}\{\boldsymbol{u}_h(\mu_1), \dots, \boldsymbol{u}_h(\mu_{\ell})\}.$
- X Calculer l'erreur de projection

$$\|\boldsymbol{u}_h(\mu_i) - P_{V_{\ell-1}}\boldsymbol{u}_h(\mu_i)\|_2$$

nécessite de calculer $\boldsymbol{u}_h(\mu_i)$ pour tout $i=1,\ldots,M$.

Soit $V_0=\{0\}$. Pour $\ell=1,\ldots,n$ on construit V_ℓ comme il suit.

1) Sélectionner

$$\mu_{\ell} \in \arg \max_{i=1,\dots,M} \Delta(u_{\ell-1}(\xi), \xi).$$

- 2) Calculer le snapshot $u_h(\mu_\ell)$ solution de $F_h(u_h(\mu_\ell), \mu_\ell) = 0$.
- 3) Poser $V_{\ell} = \text{vect}\{u_h(\mu_1), \dots, u_h(\mu_{\ell})\}.$
- X Calculer l'erreur de projection

$$\|\boldsymbol{u}_h(\mu_i) - P_{V_{\ell-1}}\boldsymbol{u}_h(\mu_i)\|_2$$

nécessite de calculer $\boldsymbol{u}_h(\mu_i)$ pour tout $i=1,\ldots,M$.

✓ On utilise un estimateur d'erreur e.g.

$$\Delta(u_{\ell}(\mu_i), \mu_i) := \|L_h(\mu_i)\boldsymbol{u}_{\ell}(\mu_i) - \boldsymbol{f}_h(\mu_i)\|_2$$

ne nécessite pas de connaître $u_h(\mu_i)$.

Soit $V_0 = \{0\}$. Pour $\ell = 1, \dots, n$ on construit V_ℓ comme il suit.

1) Sélectionner

$$\mu_{\ell} \in \arg \max_{i=1,\dots,M} \Delta(u_{\ell-1}(\xi), \xi).$$

- 2) Calculer le snapshot $u_h(\mu_\ell)$ solution de $F_h(u_h(\mu_\ell),\mu_\ell)=0$.
- 3) Poser $V_{\ell} = \text{vect}\{\boldsymbol{u}_h(\mu_1), \dots, \boldsymbol{u}_h(\mu_{\ell})\}.$
- X Calculer l'erreur de projection

$$\|\boldsymbol{u}_h(\mu_i) - P_{V_{\ell-1}}\boldsymbol{u}_h(\mu_i)\|_2$$

nécessite de calculer $\boldsymbol{u}_h(\mu_i)$ pour tout $i=1,\ldots,M$.

✓ On utilise un estimateur d'erreur e.g.

$$\Delta(u_{\ell}(\mu_i), \mu_i) := \|L_h(\mu_i)\boldsymbol{u}_{\ell}(\mu_i) - \boldsymbol{f}_h(\mu_i)\|_2$$

ne nécessite pas de connaître $oldsymbol{u}_h(\mu_i)$.

 \checkmark On a besoin de n snapshots contre M dans la méthode basée sur la SVD.

Les méthodes d'approximation linéaire ou sous format de faible rang

 \checkmark sont efficaces pour des problèmes pour lesquels n-épaisseur de Kolmogorov décroit rapidement

ex. : Exponentiellement pour des problèmes de type diffusion

Les méthodes d'approximation linéaire ou sous format de faible rang

 \checkmark sont efficaces pour des problèmes pour lesquels n-épaisseur de Kolmogorov décroit rapidement

ex. : Exponentiellement pour des problèmes de type diffusion

X mais montrent leur limite quand la n-épaisseur de Kolmogorov décroit lentement!

ex. : Comme $n^{-1/2}$ pour les problèmes de type transport

Soit $u:[0,T]\times\mathbb{R}\to\mathbb{R}$ solution de

$$\partial_t u(t,x) + \partial_x u(t,x) = 0, \quad x \in \mathbb{R}$$
 (14)

avec $u(0,x)=rac{1}{\sqrt{2\pi\sigma}}e^{-rac{x^2}{2\sigma^2}}$ et $\sigma>0$. Le problème (14) admet pour solution

$$u(t,x) = \frac{1}{\sqrt{2\pi\sigma}} e^{-\frac{(x-t)^2}{2\sigma^2}}.$$

Construisons la matrice des snapshots $A \in \mathbb{R}^{N \times M}$ t.q. $A_{ij} = u(t_j, x_i)$.

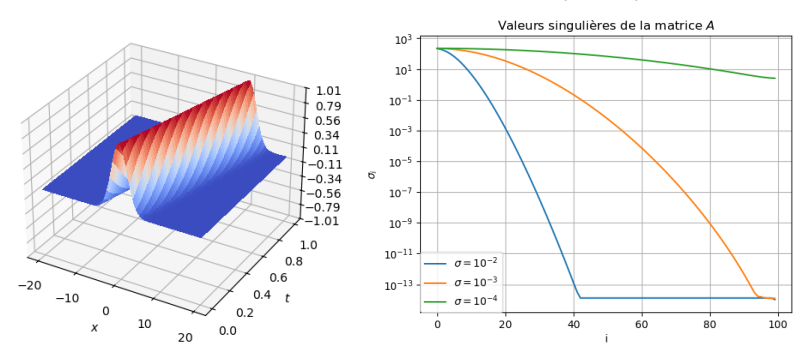


Figure – Gauche : solution u pour $\sigma=1$. Droite : valeurs singulières de A, $N=10^4, M=500$.

[QMN] Alfio Quarteroni, Andrea Manzoni et Federico Negri. Reduced Basis Methods for Partial Differential Equations. Cham, Switzerland: Springer International Publishing (cf. p. 91, 92, 99-103).